

# Module TS217

## Communications numériques sans-fil

Romain Tajan

IMS, Groupe Signal et Image

---

1 Introduction

2 Rappels

3 Modélisation du canal

4 Conclusion

5 Références

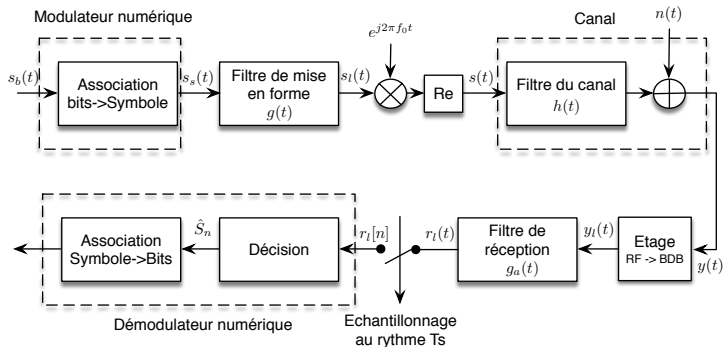
# Plan

- 1 Introduction
- 2 Rappels
- 3 Modélisation du canal
  - Sélectivité fréquentielle
  - Sélectivité temporelle
- 4 Conclusion
- 5 Références

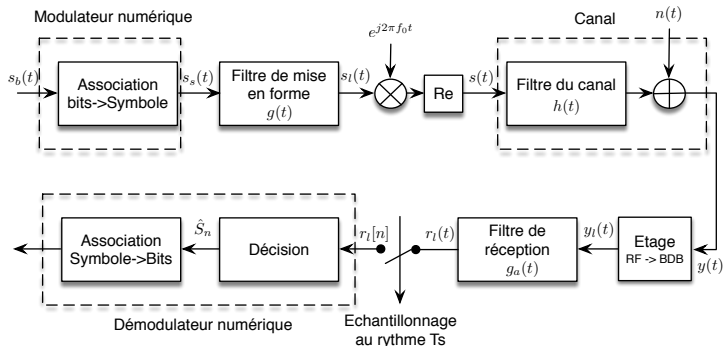
- Communications de base (canal AWGN),
- **Modélisation des canaux sans-fil (R. Tajan),**
- **Égalisation (R. Tajan).**
- **Techniques des communications numériques haut débit (G. Ferré).**
- Organisation des parties 1 et 2 :
  - 5h20 de cours,
  - 6h40 de TP
- Évaluation : Examen écrit + TP

# Plan

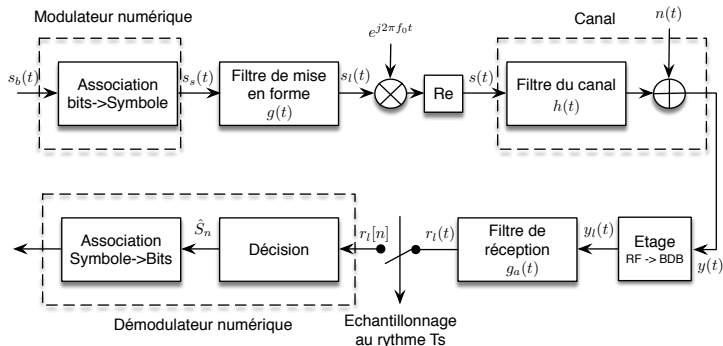
- 1 Introduction
- 2 Rappels
- 3 Modélisation du canal
  - Sélectivité fréquentielle
  - Sélectivité temporelle
- 4 Conclusion
- 5 Références



- $$r(t) = \text{Re} \left( \tilde{r}(t) e^{j2\pi ft} \right)$$



- $r(t) = \text{Re} \left( \tilde{r}(t) e^{j2\pi ft} \right)$
- $\tilde{r}_n = \sum_{k \in \mathbb{Z}} S_k v_{n-k} + \tilde{z}_n$  avec  $v(t) = g(t) * h(t) * g_a(t)$



- $r(t) = Re \left( \tilde{r}(t) e^{j2\pi ft} \right)$
- $\tilde{r}_n = \sum_{k \in \mathbb{Z}} S_k v_{n-k} + \tilde{z}_n$  avec  $v(t) = g(t) * h(t) * g_a(t)$ 
  - si  $h(t) = \delta(t) \Rightarrow \tilde{r}_n = v_0 S_n + \tilde{z}_n$
  - si  $h(t) \neq \delta(t) \Rightarrow \tilde{r}_n = v_0 S_n + \sum_{l=1}^{L-1} v_l S_{n-l} + \tilde{z}_n$



Pour combattre l'IES il faut égaliser le canal :

- Maximum de vraisemblance  $\Rightarrow$  Algorithme de Viterbi
- Egaliseur à retour de décision (DFE)
- Egaliseur de Wiener
- Egaliseur de forçage à zéro

**Problèmes** : étape d'autant plus complexe que le canal est sélectif en fréquence et performances mitigées.

## Objectifs de ce cours

- 1 Modéliser le canal
  - Bande de cohérence
  - Temps de cohérence
- 2 Présenter des techniques d'égalisation

# Plan

- 1 Introduction
- 2 Rappels
- 3 Modélisation du canal**
  - ▷ Modélisation déterministe
  - ▷ Modélisation stochastique du canal
    - Sélectivité fréquentielle
    - Sélectivité temporelle
- 4 Conclusion
- 5 Références

# Plan

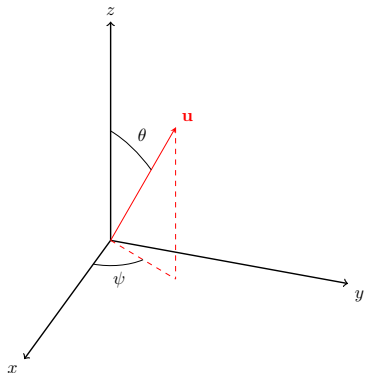
- 1 Introduction
- 2 Rappels
- 3 Modélisation du canal**
  - ▷ **Modélisation déterministe**
  - ▷ Modélisation stochastique du canal
    - Sélectivité fréquentielle
    - Sélectivité temporelle
- 4 Conclusion
- 5 Références

## Champ électrique en champ lointain

**Champ électrique** en **champ lointain** pour la transmission de la sinusoïde  $e^{j2\pi ft}$  :

$$E(\mathbf{u}, t, f) = \frac{\alpha_t(\theta, \psi, f)}{r} e^{j2\pi f(t - \frac{r}{c})}$$

- $\mathbf{u} = (r, \theta, \psi)$  (coordonnées sphériques)
- $c$  : vitesse de la lumière
- $\alpha_t(\theta, \psi, f)$ , diagramme de rayonnement de l'antenne d'émission + pertes antenne + déphasage antenne



Le champ électrique évolue en  $r^{-1}$  donc la puissance par  $m^2$  en  $r^{-2}$

## Champ électrique reçu

Expression du **champ électrique** reçu par une antenne à la position  $\mathbf{u}$  :

$$E_r(\mathbf{u}, t, f) = \frac{\alpha(\theta, \psi, f)}{r} e^{j2\pi f(t - \frac{r}{c})}$$

avec  $\alpha(\theta, \psi, f) = \alpha_t(\theta, \psi, f)\alpha_r(\theta, \psi, f)$

## Fonction de transfert (entrée/sortie)

- Soit la fonction de transfert

$$H(\mathbf{u}, f) = \frac{\alpha(\theta, \psi, f)}{r} e^{-j2\pi f \frac{r}{c}}$$

la réponse du système à l'entrée  $x(t) = e^{j2\pi ft}$  est

$$y(t) = x(t)H(f)$$

- Système **linéaire invariant par décalage**

## Fonction de transfert (entrée/sortie)

- Soit la fonction de transfert

$$H(\mathbf{u}, f) = \frac{\alpha(\theta, \psi, f)}{r} e^{-j2\pi f \frac{r}{c}}$$

la réponse du système à l'entrée  $x(t) = e^{j2\pi ft}$  est

$$y(t) = x(t)H(f)$$

- Système **linéaire invariant par décalage**

- La réponse à  $x(t) = \int_{-\infty}^{+\infty} X(f)e^{j2\pi ft} df$  est  $y(t) = \int_{-\infty}^{+\infty} H(f)X(f)e^{j2\pi ft} df$



## Fonction de transfert (entrée/sortie)

- Soit la fonction de transfert

$$H(\mathbf{u}, f) = \frac{\alpha(\theta, \psi, f)}{r} e^{-j2\pi f \frac{r}{c}}$$

la réponse du système à l'entrée  $x(t) = e^{j2\pi ft}$  est

$$y(t) = x(t)H(f)$$

- Système **linéaire invariant par décalage**

- La réponse à  $x(t) = \int_{-\infty}^{+\infty} X(f)e^{j2\pi ft} df$  est  $y(t) = \int_{-\infty}^{+\infty} H(f)X(f)e^{j2\pi ft} df$

- D'où  $y(t) = \int_{-\infty}^{+\infty} h(u)x(t-u)du$

## Fonction de transfert (entrée/sortie)

- Soit la fonction de transfert

$$H(\mathbf{u}, f) = \frac{\alpha(\theta, \psi, f)}{r} e^{-j2\pi f \frac{r}{c}}$$

la réponse du système à l'entrée  $x(t) = e^{j2\pi ft}$  est

$$y(t) = x(t)H(f)$$

- Système **linéaire invariant par décalage**

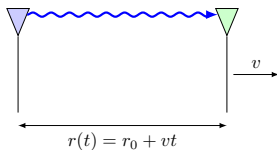
- La réponse à  $x(t) = \int_{-\infty}^{+\infty} X(f)e^{j2\pi ft} df$  est  $y(t) = \int_{-\infty}^{+\infty} H(f)X(f)e^{j2\pi ft} df$

- D'où  $y(t) = \int_{-\infty}^{+\infty} h(u)x(t-u)du$

Supposons que  $\alpha(\cdot)$  fonction de  $(\theta, \psi)$  seulement, alors

$$y(t) = \frac{\alpha(\theta, \psi)}{r} x\left(t - \frac{r}{c}\right)$$

## Scénario 1 : antenne en mouvement

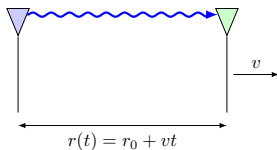


Expression du **champ électrique** reçu par une antenne en mouvement :

$$\begin{aligned}
 E_r((r_0 + vt, \theta, \psi), t, f) &= \frac{\alpha(\theta, \psi, f)}{r_0 + vt} e^{j2\pi f \left( t - \frac{r_0 + vt}{c} \right)} \\
 &= \frac{\alpha(\theta, \psi, f)}{r_0 + vt} e^{j2\pi f \left( t \left( 1 - \frac{v}{c} \right) - \frac{r_0}{c} \right)}
 \end{aligned}$$

On remarque un **décalage de la fréquence du signal reçu** de  $-\frac{v}{c} f$

## Scénario 1 : antenne en mouvement



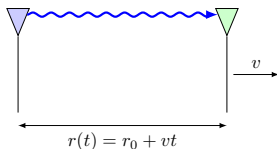
Expression du **champ électrique** reçu par une antenne en mouvement :

$$\begin{aligned}
 E_r((r_0 + vt, \theta, \psi), t, f) &= \frac{\alpha(\theta, \psi, f)}{r_0 + vt} e^{j2\pi f \left( t - \frac{r_0 + vt}{c} \right)} \\
 &= \frac{\alpha(\theta, \psi, f)}{r_0 + vt} e^{j2\pi f \left( t \left( 1 - \frac{v}{c} \right) - \frac{r_0}{c} \right)}
 \end{aligned}$$

On remarque un **décalage de la fréquence du signal reçu** de  $-\frac{v}{c} f$

⇒ **Décalage Doppler**

## Scénario 1 : antenne en mouvement



Expression du **champ électrique** reçu par une antenne en mouvement :

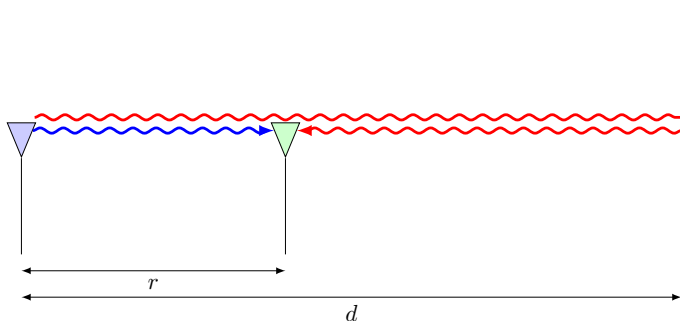
$$\begin{aligned} E_r((r_0 + vt, \theta, \psi), t, f) &= \frac{\alpha(\theta, \psi, f)}{r_0 + vt} e^{j2\pi f \left( t - \frac{r_0 + vt}{c} \right)} \\ &= \frac{\alpha(\theta, \psi, f)}{r_0 + vt} e^{j2\pi f \left( t \left( 1 - \frac{v}{c} \right) - \frac{r_0}{c} \right)} \end{aligned}$$

On remarque un **décalage de la fréquence du signal reçu** de  $-\frac{v}{c} f$

⇒ **Décalage Doppler**

La fonction de transfert n'est plus **invariante par décalage** !

## Scénario 2 : réception à 2 trajets



Expression du **champ électrique** reçu par une antenne avec un mur réflecteur :

$$E_r(\mathbf{u}, t, f) = \frac{\alpha}{r} e^{j2\pi f(t - \frac{r}{c})} - \frac{\alpha}{2d - r} e^{j2\pi f(t - \frac{2d - r}{c})}$$

Écart de phase entre les deux trajets :

$$\Delta\phi = 4\pi f \frac{d - r}{c} - \pi$$

## Scénario 2 : réception à 2 trajets

- Les interférences passent de constructives à destructives si  $f$  change de

$$\frac{1}{2} \left( \frac{2d - r}{c} - \frac{r}{c} \right)^{-1}$$

- $T_d = \frac{2d - r}{c} - \frac{r}{c}$  s'appelle l'**étalement temporel du canal**.
- $B_c = T_d^{-1}$  s'appelle la **bande de cohérence** du canal

### Bande de cohérence

=

Bande de fréquence sur laquelle le **canal** peut être vu comme **plat**

## Scénario 3 : combinaison des deux modèles précédents

Expression du **champ électrique** reçu par une antenne en mouvement avec un mur réflecteur :

$$E_r(\mathbf{u}, t, f) = \frac{\alpha}{r_0 + vt} e^{j2\pi f \left( t - \frac{r_0 + vt}{c} \right)} - \frac{\alpha}{2d - r_0 - vt} e^{j2\pi f \left( t - \frac{2d - r_0 - vt}{c} \right)}$$

Premier chemin  $\Rightarrow$  Doppler  $D_1 = -f \frac{v}{c}$

Second chemin  $\Rightarrow$  Doppler de  $D_2 = f \frac{v}{c}$

**Étalement Doppler**

$$D_s = D_2 - D_1$$

et le temps de cohérence comme

$$T_c = \frac{1}{4D_s}$$

**Temps de cohérence**

=

Temps pendant lequel le **canal** peut être vu comme **stable**



## Scénario 3 : combinaison des deux modèles précédents

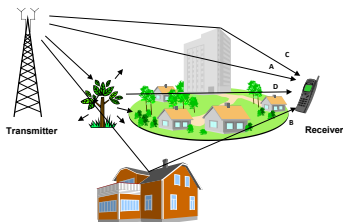
Pour  $t$  proche de 0 et  $r_0$  proche de  $d$ , le champ  $E_r$  s'écrit

$$\begin{aligned} E_r(\mathbf{u}, t, f) &= \frac{\alpha}{r_0} \left( e^{j2\pi f \left( t - \frac{r_0 + vt}{c} \right)} - e^{j2\pi f \left( t - \frac{2d - r_0 - vt}{c} \right)} \right) \\ &= \frac{\alpha}{r_0} e^{j2\pi f \left( t - \frac{r_0}{c} \right)} \left( e^{-j2\pi f \frac{vt}{c}} - e^{j2\pi f \frac{vt}{c}} \right) \\ &= -2j \frac{\alpha}{r_0} e^{j2\pi f \left( t - \frac{r_0}{c} \right)} \sin \left( 2\pi f \frac{vt}{c} \right) \end{aligned}$$

## Modèle à trajets multiples

On considère un modèle à  $J$  trajets :

$$y(t) = \sum_{j=0}^{J-1} a_j(t)x(t - \tau_j(t))$$



La puissance perdue lors de la propagation est dûe :

- A la distance entre Tx et Rx (grande échelle),
- A l'environnement (effet de masquage - moyenne échelle),
- A la mobilité de Tx et/ou Rx  $\Rightarrow$  Temps de cohérence  $T_C$ ,
- Aux multi-trajets  $\Rightarrow$  Bande de cohérence  $B_C$ .

Soit  $x(t)$  le signal transmis, le signal reçu s'écrit :  $y(t) = \int_{\mathbb{R}} h(\tau, t)x(t - \tau)d\tau$

**Enveloppe complexe du signal reçu :**  $y_l(t) = \int_{\mathbb{R}} h_l(\tau, t)s_l(t - \tau)d\tau$

$h_l(\tau, t) \in \mathbb{C}$  : **enveloppe complexe équivalente** du canal

# Plan

- 1 Introduction
- 2 Rappels
- 3 Modélisation du canal**
  - ▷ Modélisation déterministe
  - ▷ **Modélisation stochastique du canal**
    - Sélectivité fréquentielle
    - Sélectivité temporelle
- 4 Conclusion
- 5 Références

## Auto-corrélation de la réponse impulsionnelle

### Définition

$$R_h(\tau, t, \Delta\tau, \Delta t) = \mathbb{E}[h_l(\tau, t) h_l^*(\tau - \Delta\tau, t - \Delta t)]$$

### Hypothèses :

- Stationnarité :  $R_h(\tau, t, \Delta\tau, \Delta t)$  ne dépend pas de  $t$
- En l'**absence de trajet direct**  $h(\tau, t) \sim \mathcal{N}_{\mathbb{C}}(0, \sigma_{\tau}^2)$  (Canal Rayleigh)
- $h(\tau, t)$  indépendant de  $h(\tau - \Delta\tau, t - \Delta t)$  si  $\Delta\tau \neq 0$

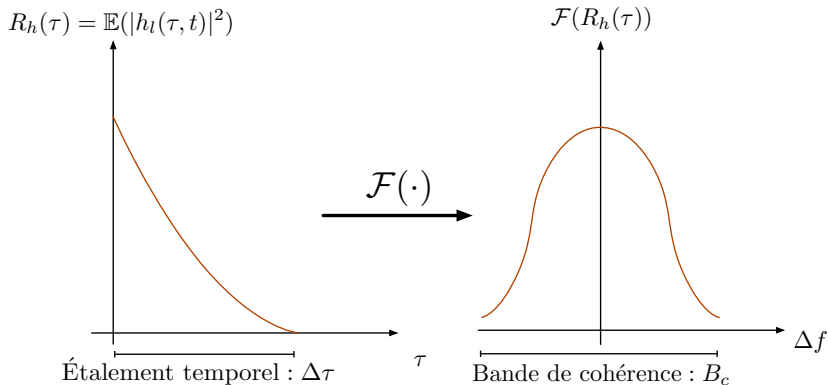
On montre que :

$$R_h(\tau, t, \Delta\tau, \Delta t) = R_h(\tau, \Delta t)\delta(\Delta\tau)$$

## Auto-corrélation de la réponse impulsionnelle

Énergie reçue pour le trajet de retard  $\tau$  :

$$R_h(\tau) = \mathbb{E} \left[ |h_l(\tau, t)|^2 \right]$$



## Sélectivité fréquentielle

### Bande de cohérence

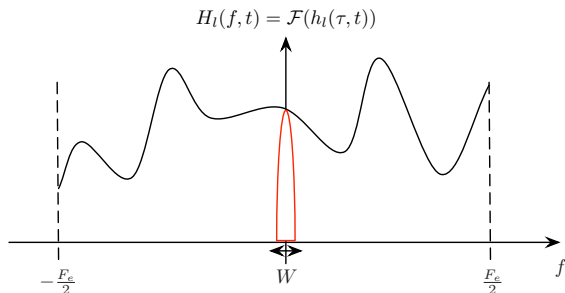
Définie comme l'**inverse de l'étalement temporel**  $\Delta\tau : B_c = \frac{1}{T_d}$ .

Soit  $W$  la largeur de bande du signal émis :

- $W \ll B_c \Rightarrow$  le canal de propagation est **non sélectif en fréquence**.
- $W > B_c \Rightarrow$  le canal de propagation est **sélectif en fréquence**.
- $T_s \gg T_d \Rightarrow$  le canal est **non sélectif en fréquence**
- $T_s < T_d \Rightarrow$  le canal est **sélectif en fréquence**

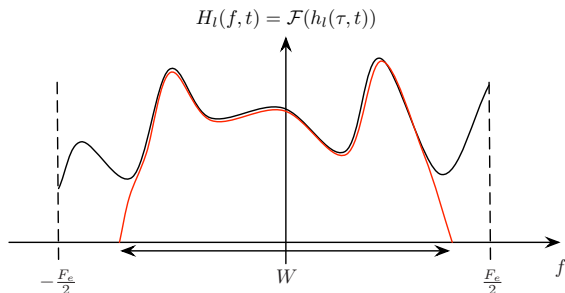
Les systèmes de communications haut débit sont plus complexes à mettre en oeuvre que les systèmes bas débit.

# Sélectivité fréquentielle





## Sélectivité fréquentielle



## Auto-corrélation de la fonction de transfert

### Définition

$$R_H(f, t, \Delta f, \Delta t) = \mathbb{E} [H_l(f, t) H_l^*(f - \Delta f, t - \Delta t)]$$

### Hypothèses :

- Stationnarité :  $R_h(\tau, t, \Delta\tau, \Delta t)$  ne dépend pas de  $t$
- En l'absence de trajet direct  $h(\tau, t) \sim \mathcal{N}_{\mathbb{C}}(0, \sigma_{\tau}^2)$  (Canal Rayleigh)
- $h(\tau, t)$  indépendant de  $h(\tau - \Delta\tau, t - \Delta t)$  si  $\Delta\tau \neq 0$

On montre que :

$$R_H(f, t, \Delta f, \Delta t) = \mathcal{F}(R_h(\tau, \Delta t))$$

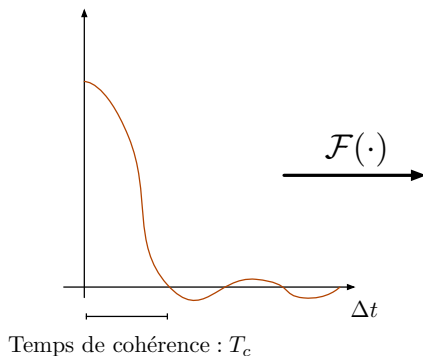
ne dépend que de  $\Delta f$  et  $\Delta t$ .

## Auto-corrélation de la fonction de transfert

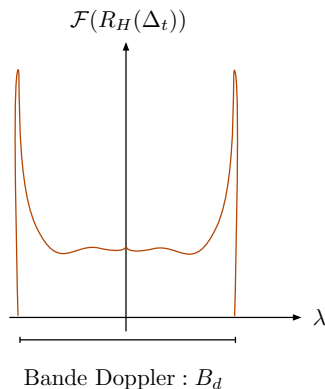
Énergie reçue autour de la fréquence  $f$ , à l'instant  $\Delta_t$  :

$$R_H(\Delta_t) = \mathbb{E} \left[ |H_l(f, \Delta_t)|^2 \right]$$

$$R_H(\Delta_t) = \mathbb{E}(|H_l(f, \Delta_t)|^2)$$



$\mathcal{F}(\cdot)$



## Sélectivité temporelle

Vitesse relative entre Tx et Rx  $\Rightarrow$  décalage de fréquence (effet Doppler)  $f_d = v \frac{f_c}{c}$

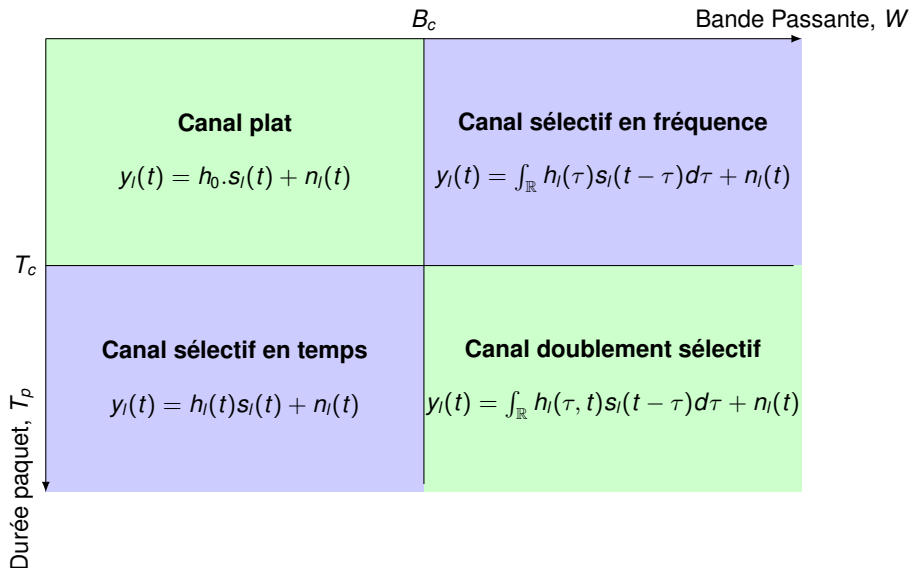
**Bande Doppler** :  $B_d = [-f_d, f_d]$  le **temps de cohérence** vaut alors  $T_c = \frac{1}{B_d}$ .

Soit  $T_p$  la durée d'un paquet, on peut classifier le canal de la façon suivante :

- Si  $T_p \ll T_c$  le canal est dit **non sélectif en temps**,
- Si  $T_p < T_c$  : **évanouissements lents**,
- Si  $T_p > T_c$  : **évanouissements rapides**,

Les systèmes de communications sans-fil terrestres mobiles sont en général non sélectif en temps.

## Conclusion Sélectivité



# Plan

- 1 Introduction
- 2 Rappels
- 3 Modélisation du canal
  - Sélectivité fréquentielle
  - Sélectivité temporelle
- 4 Conclusion
- 5 Références

- Principes des communications haut-débit (4G, TNT, WiFi),
- Techniques de synchronisations,
- Dirty RF,
- Systèmes à antennes multiples (MIMO),
- Etalement de spectre,
- Radio-intelligente, 4G et 5G.

# Plan

- 1 Introduction
- 2 Rappels
- 3 Modélisation du canal
  - Sélectivité fréquentielle
  - Sélectivité temporelle
- 4 Conclusion
- 5 **Références**



## Bibliographie

- R. van Nee et R. Prasad, « OFDM for wireless multimedia communications », 2000.
- A. Burr, « Modulation and coding for wireless communication », 2001.
- A. Molisch, « Wideband wireless digital communication », 2001.